



# 19<sup>th</sup> International Conference — Science, Technology and Innovation *Booklets*



RENIECYT - LATINDEX - Research Gate - DULCINEA - CLASE - Sudoc - HISPANA - SHERPA UNIVERSIA - Google Scholar DOI - REDIB - Mendeley - DIALNET - ROAD - ORCID

**Title: Development of a peristaltic pumping system for evaluation of micro fuel cells  
(μCC) Physics - Electronics - Microelectronics design**

**Authors:** HERÁNDEZ-FIGUEROA, Rodolfo, GURROLA, Mayra Polett and CRUZ-ARGÜELLO,  
Julio César

**Editorial label ECORFAN:** 607-8695

**BECORFAN Control Number:** 2022-01

**BECORFAN Classification (2022):** I3I222-0001

**Pages:** 18

**RNA:** 03-2010-032610115700-14

**ECORFAN-México, S.C.**

143 – 50 Itzopan Street

La Florida, Ecatepec Municipality

Mexico State, 55120 Zipcode

Phone: +52 1 55 6159 2296

Skype: ecorfan-mexico.s.c.

E-mail: contacto@ecorfan.org

Facebook: ECORFAN-México S. C.

Twitter: @EcorfanC

[www.ecorfan.org](http://www.ecorfan.org)

## **Holdings**

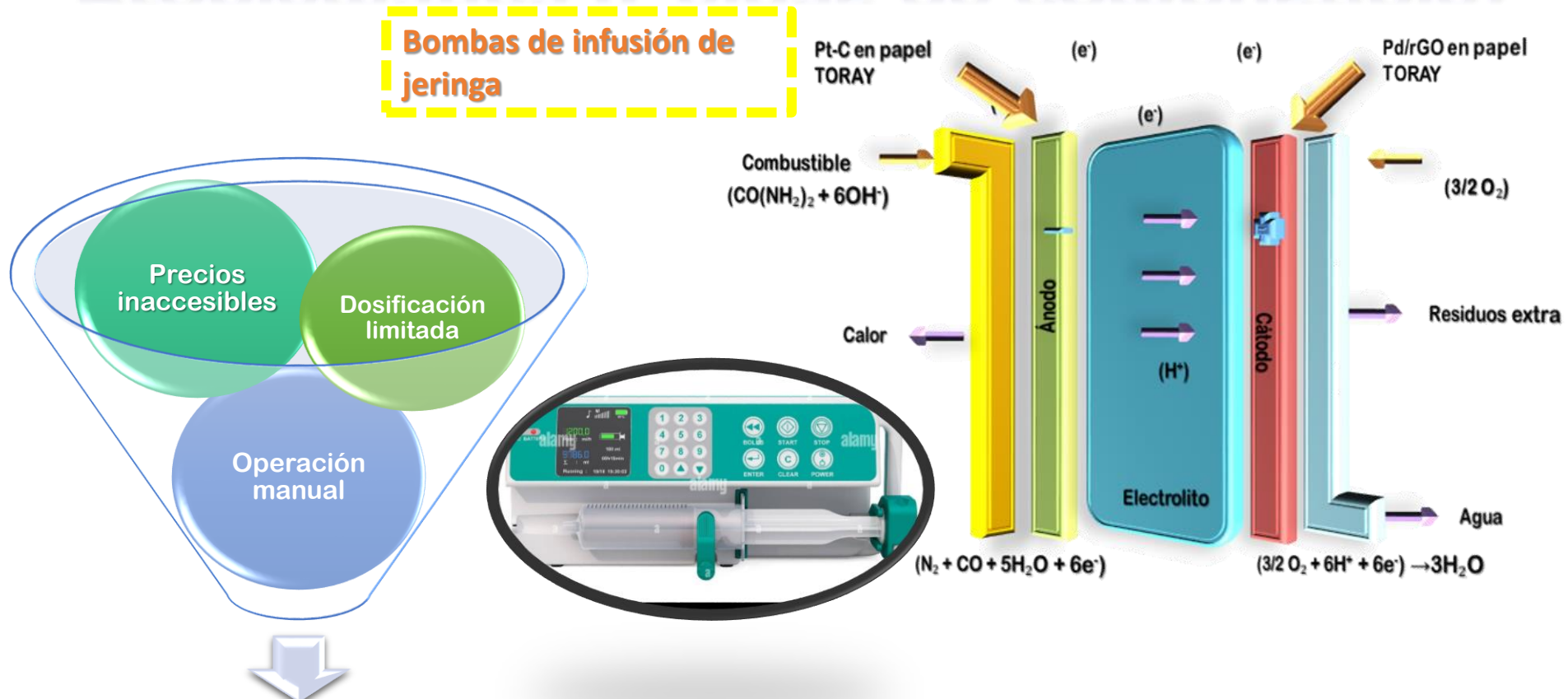
Mexico	Colombia	Guatemala
Bolivia	Cameroon	Democratic
Spain	El Salvador	Republic
Ecuador	Taiwan	of Congo
Peru	Paraguay	Nicaragua

# Índice

- 1 • Introducción
- 2 • Metodología
- 3 • Resultados
- 4 • Conclusiones
- 5 • Referencias

# Introducción

## Problemática (Celdas de combustible)



Avances de investigación en celdas de combustible

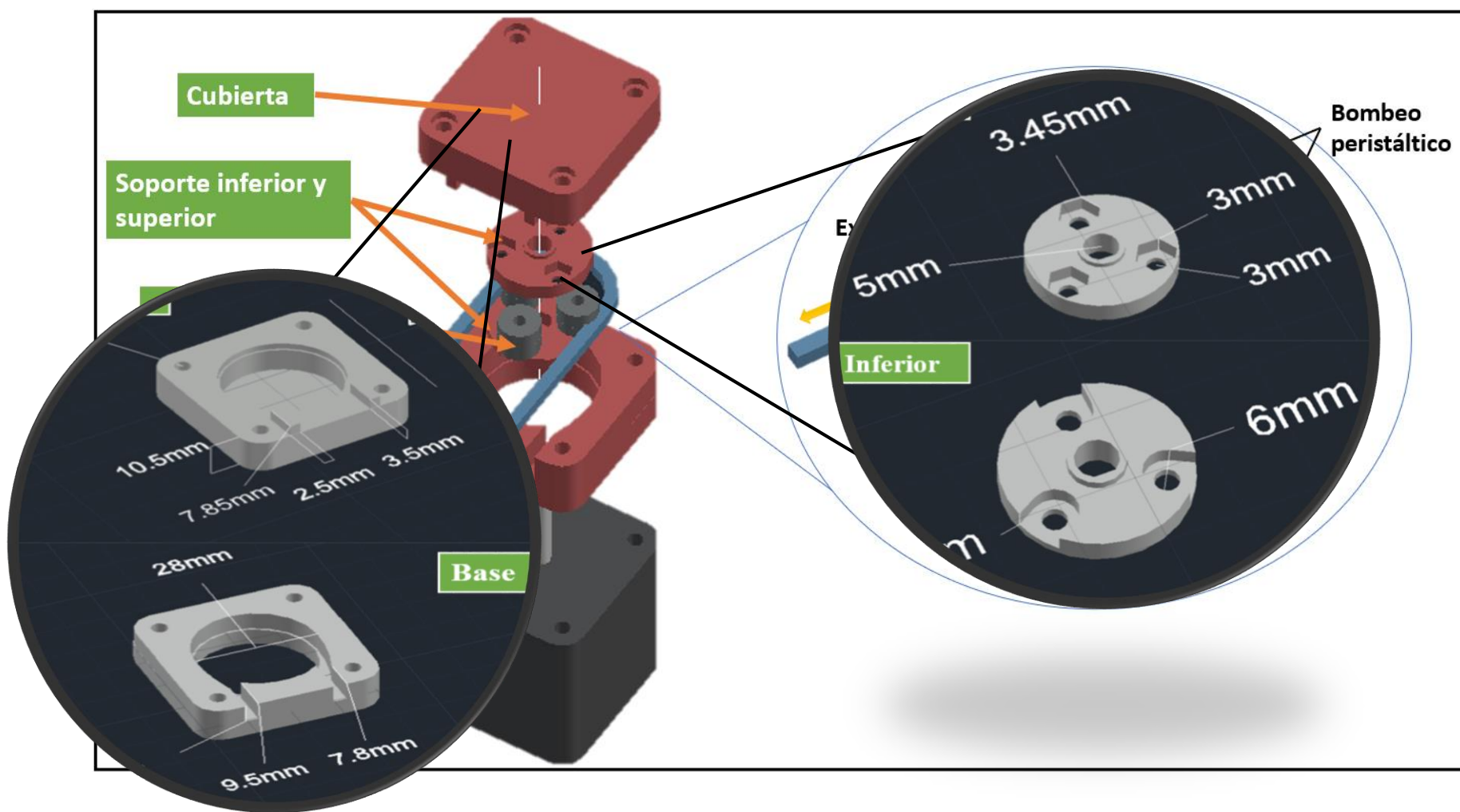
# Problemática (Celdas de combustible)

Combustible	Ánodo/Cátodo	Flujo de operación (ml/min) o ( $\mu$ L/min)	Referencia
0.33M Urea + 1M KOH	Pd–Ni/C / Pd/C	3ml/min	Yoon, J., Lee, D., Lee, Y. N., Yoon, Y. S., & Kim, D.-J. (2019) Adicionar el número de la referencia en todas las columnas
0.6 M urea + 5 M KOH	FLNi $(\text{OH})_2$ /Ni foam / Pd/C@TiC	5-15 ml/min	Ye, K., Zhang, H., Zhao, L., Huang, X., Cheng, K., Wang, G., & Cao, D. (2016).
0.6 M urea + 5 M KOH	SH Ni $(\text{OH})_2$ /Ni foam / Pd/C@TiC	5-15 ml/min	Ye, K., Zhang, H., Zhao, L., Huang, X., Cheng, K., Wang, G., & Cao, D. (2016).
0.6 M urea + 5 M KOH	TW Ni $(\text{OH})_2$ /Ni foam / Pd/C@TiC	5-15 ml/min	Ye, K., Zhang, H., Zhao, L., Huang, X., Cheng, K., Wang, G., & Cao, D. (2016).
0.33 M urea + 5 M KOH	Ni-Co/NWAs / Pd/CFC	10 ml/min	Guo, F., Cheng, K., Ye, K., Wang, G., & Cao, D. (2016).
1 M urea + 8 M KOH	Ni/C / Pd/C	3 ml/min	Fan, Z., Kwon, Y.-H., Yang, X., Xu, W., & Wu, Z. (2017).
0.7 M urea + 3 M KOH	NiCu/MWCNT / Pt/C	3 ml/min	Basumatary, P., Konwar, D., & Yoon, Y. S. (2018).
0.33 M urea + 5 M KOH	CoNi@Ni foam / Pd/CFC	10 ml/min	Li, B., Song, C., yin, J., Yan, J., Ye, K., Cheng, K., Wang, G. (2019).
0.33 M urea + 5 M KOH	CoNi/rGO@Ni foam /	10 ml/min	Li, B., Song, C., yin, J., Yan, J., Ye, K., Cheng, K., ... Wang, G. (2019).
Aire +0.3 M KOH	Cu@Pd/C	2-4 ml/min	Maya-Cornejo, J., Guerra-Balcázar, M., Arjona, N., Álvarez-Contreras, L., Rodríguez Valadez, F. J., Gurrola, M. P., ... Arriaga, L. G. (2016)
3 M Ácido fórmico	Pt/Papel Toray / Pt Carbon Nanofoam	1-12 ml/min	Gurrola, M. P., Ortiz-Ortega, E., Farias-Zuñiga, C., Chávez-Ramírez, A. U., Ledesma-García, J., & Arriaga, L. G. (2016).
0.25 M Ácido fórmico	Acetato de celulosa /Papel Toray	3-9 ml/min	Moreno-Zuria, A., Ortiz-Ortega, E., Gurrola, M. P., Chávez-Ramírez, A. U., Ledesma-García, J., & Arriaga, L. G. (2017).
4M HCl +1 M $\text{H}_2\text{SO}_4$	Pt/C /Pt/C	120-300 ml/min	Rico-Zavala, A., Pineda-Delgado, J. L., Carbone, A., Saccà, A., Passalacqua, E., Gurrola, M. P., ... Arriaga, L. G. (2020).
0.1M $\text{NH}_4\text{F}$ +Aire	Pt/C /ADH-TNT	<u>80 <math>\mu</math>L/min</u>	Galindo-de-la-Rosa, J., Álvarez, A., Gurrola, M. P., Rodríguez-Morales, J. A., Oza, G., Arriaga, L. G., & Ledesma-García, J. (2020).
3M Ácido Fórmico + 0.5M Ácido sulfúrico	Pt/C /Pd/C	<u>10-100 <math>\mu</math>L/min</u>	Ortiz-Ortega, E., Gurrola, M. P., Arjona, N., Ledesma-García, J., & Arriaga, L. G. (2016).

# Solución desarrollada



# Metodología



*Esquema del diseño de la bomba peristáltica.*

# Modelado (circuito eléctrico)

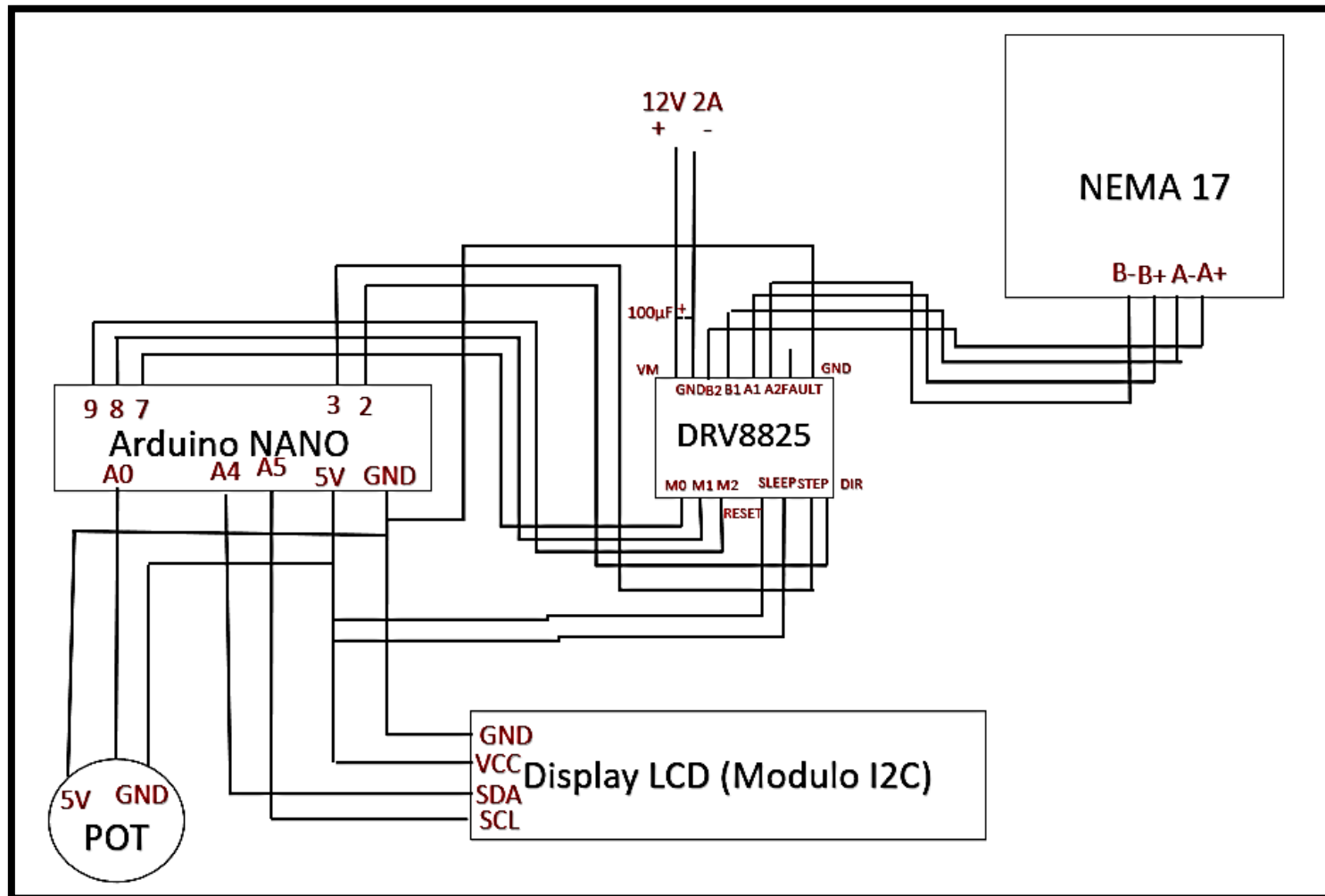
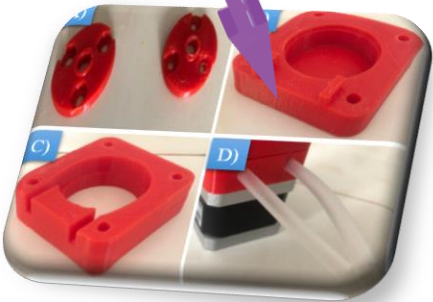


Diagrama de conexiones internas de la bomba peristáltica

# Selección y conexión de componentes electrónicos

## Montaje físico

Impresión  
de  
Piezas en  
filamento  
3D



Construcción  
del rodillo con  
rodamientos y  
tornillos



Montaje del rodillo al  
motor  
NEMA 17



Encapsulamiento  
o de  
Tubería de  
silicón

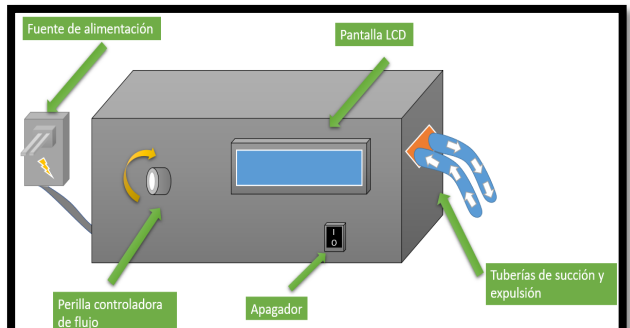


12V a 2A, y 5V el  
Arduino Nano

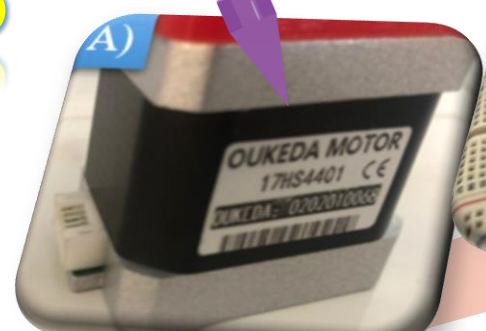
Display con  
Modulo I2C



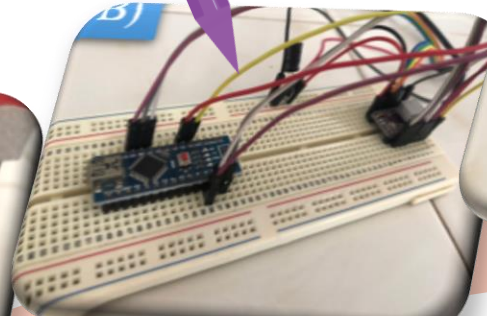
## Montaje eléctrico



Motor NEMA  
17

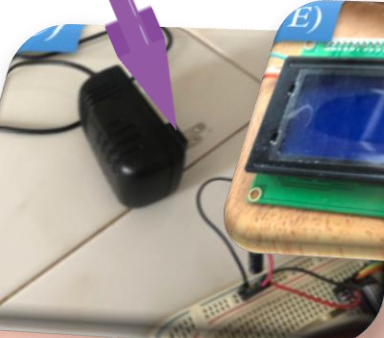


Arduino Nano y  
DRV8825



Microcontrolador  
y Driver

Fuente de  
poder



Encapsulado

# Código fuente

codido por ti

```
#include <Wire.h>
#include <LiquidCrystal_I2C.h>
LiquidCrystal_I2C lcd(0x27, 20, 4);
#define dirPin 2
#define stepPin 3
#define stepsPerRevolution 200
void setup() {
    lcd.init();
    lcd.backlight();
    lcd.clear();
    lcd.setCursor(0,0);
    lcd.print("FLUX CONTROL");
    lcd.setCursor(0,1);
    lcd.print("PUMP ");
    pinMode(stepPin, OUTPUT);
    pinMode(dirPin, OUTPUT);
}
```

```
void loop() {
    int sensorReading = analogRead(A0);
    int motorSpeed = map(sensorReading, 0, 1023, 0, 1000);
    digitalWrite(dirPin, LOW);
    for (int i = 0; i < 1; i++) {
        digitalWrite(stepPin, HIGH);
        delay(motorSpeed);
        digitalWrite(stepPin, LOW);
        delay(motorSpeed);
    }
    lcd.display();
    float FLUX = sensorReading * (1000.0 / 1023.0);
    lcd.setCursor(0,1);
    lcd.print("Flux:");
    lcd.setCursor(8,1);
    lcd.print(30000*(2.5717/FLUX));
    lcd.setCursor(12,1);
    lcd.print("uL/m");
}
}
```

# Cálculo De Flujo

CÁLCULO DE FLUJO

$$Distancia\ de\ impulsión = \frac{\pi * Diametro}{4} = \frac{\pi(28\ mm)}{4} = 7\pi\ mm$$

$$A = \pi \left( \frac{3.75\ mm}{2} \right)^2 = 11.0447\ mm^2$$

$$V_{Por\ paso} = \frac{242.8848\ mm^3}{50\ pasos} = 4.8577\ mm^3/paso$$

$$V = A * Distancia\ de\ impulsión = (11.0447\ mm^2)(7\ \pi mm) = 242.8848\ mm^3$$

$$V_{Por\ paso} = \frac{242.8848\ mm^3}{50\ pasos} = 4.8577\ mm^3/paso$$

# Estimación de flujo real por paso

$$\text{Porcentaje de impulsión por paso} = \frac{36}{68} = \frac{9}{17}\% = 52.9412\%$$

$$V \text{ por paso estimado} = (4.8577 \mu L) \frac{9}{17}\% = 2.5717 \mu L$$

## Conversión de lectura del potenciómetro al valor de flujo del Display

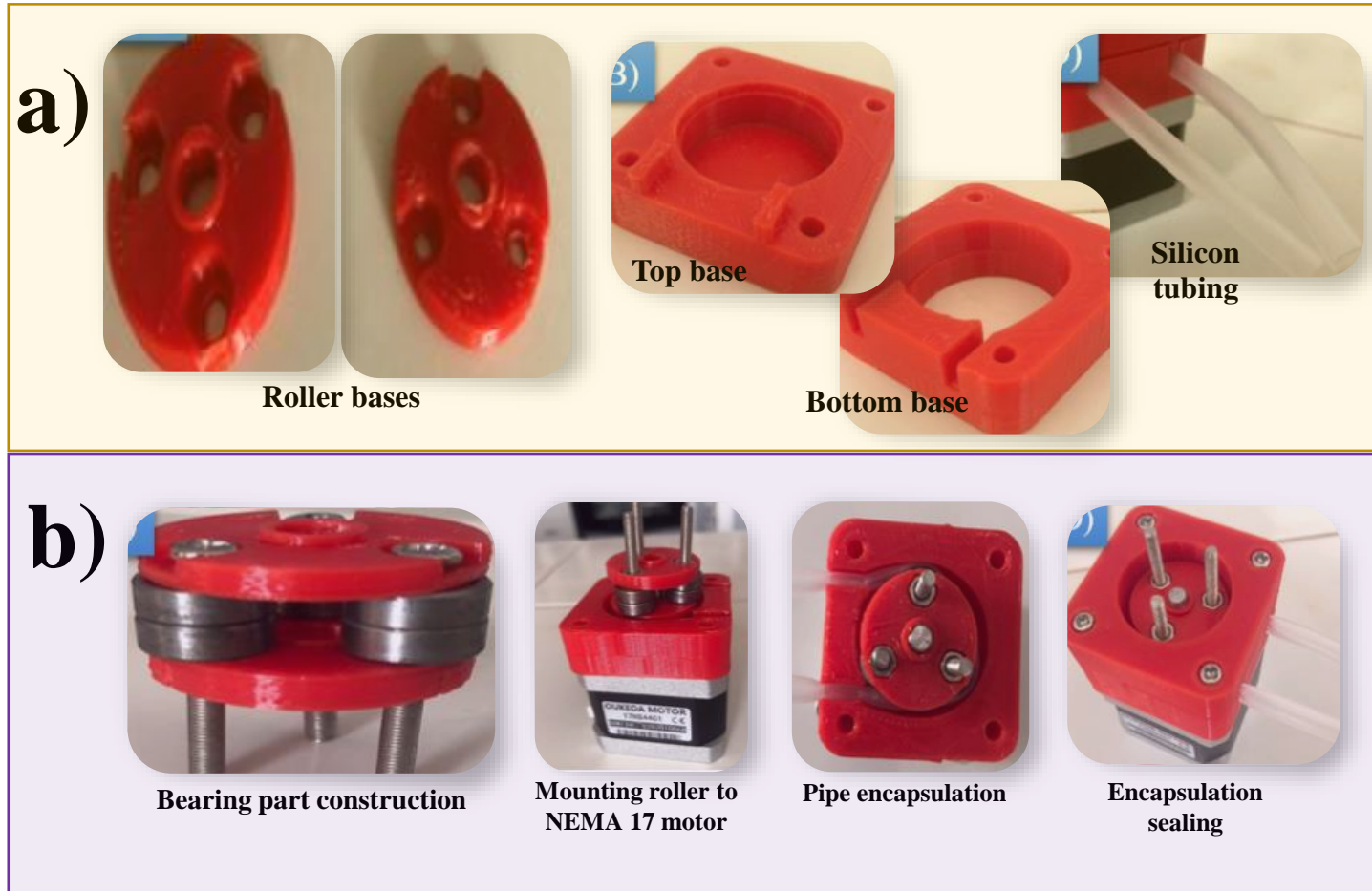
$$T_{paso/s} = \frac{2Delay}{1000}$$

$$Pasos/min = \frac{60}{\frac{2Delay}{1000}} = 30000/Delay$$

$$\text{Flujo} = 30000 \frac{V_{Por\ paso}}{Delay}$$

# Resultados

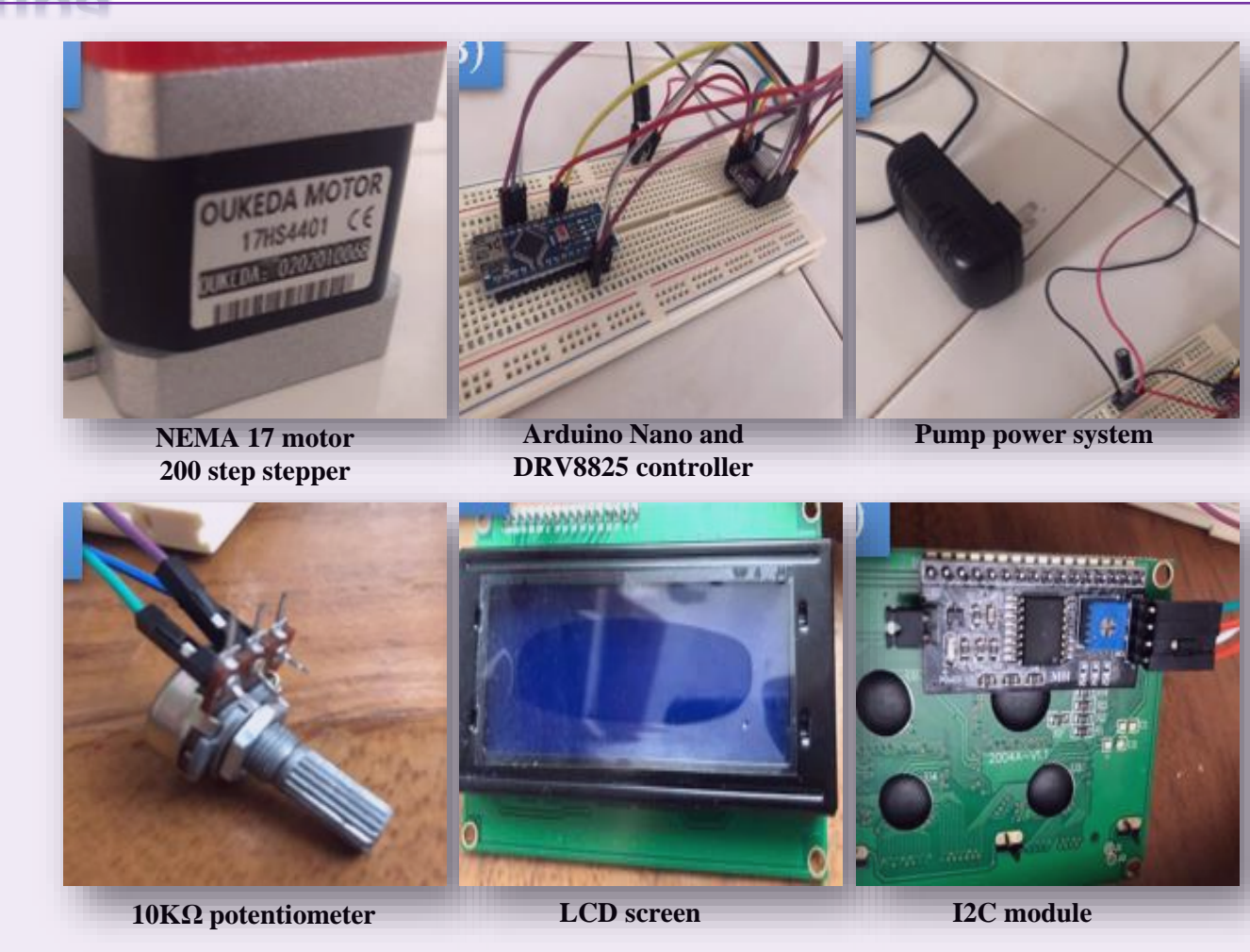
## Impresiones de filamento termoplástico y Construcción de la bomba



*a) Impresión de piezas en 3D para encapsulado de la tubería y b) Proceso de montaje del encapsulado para la tubería*

# Control de la bomba

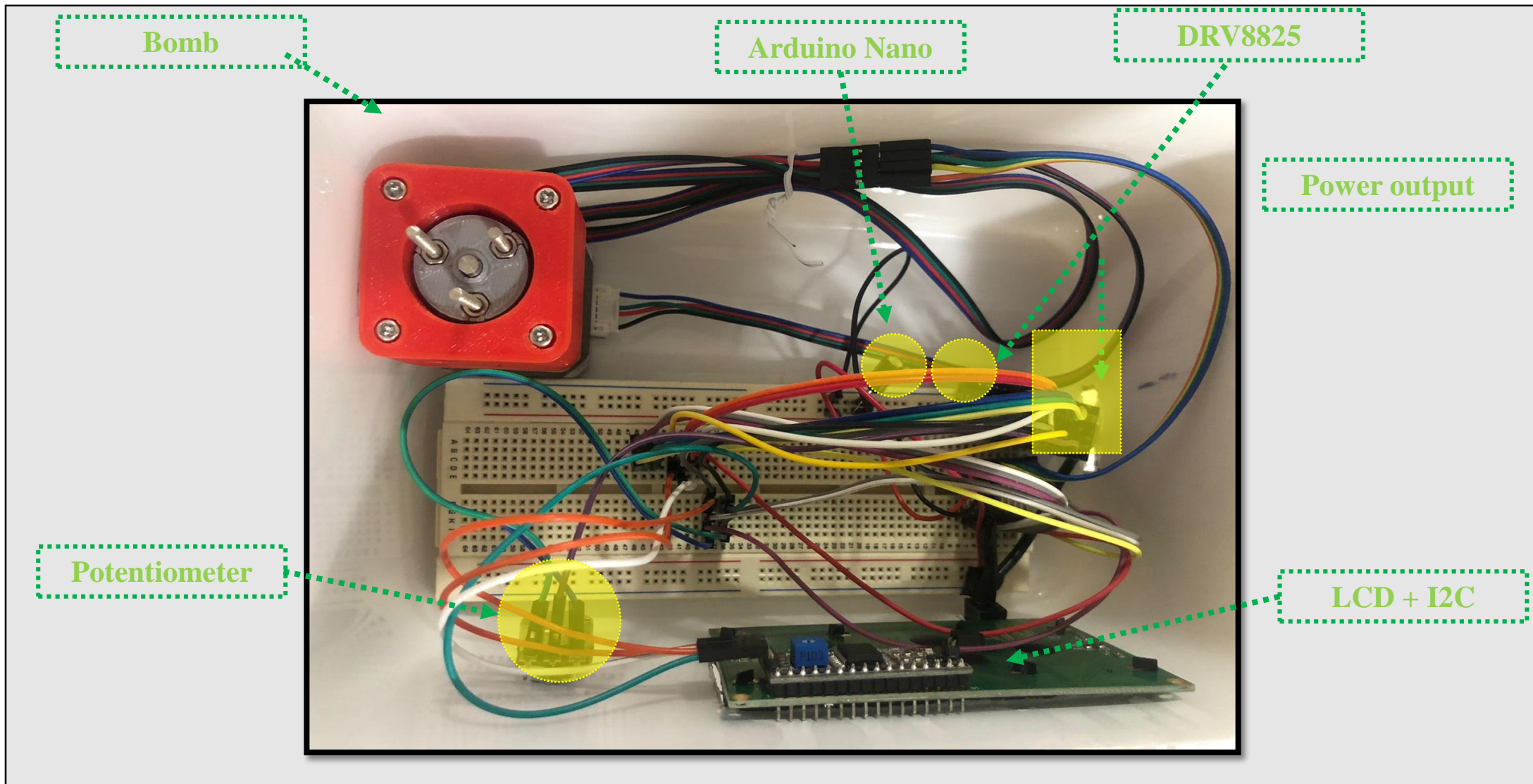
## Control de la bomba



*Componentes electrónicos*

# Instalación de componentes internos

Instalación de componentes internos



Ordenamiento interno de los componentes

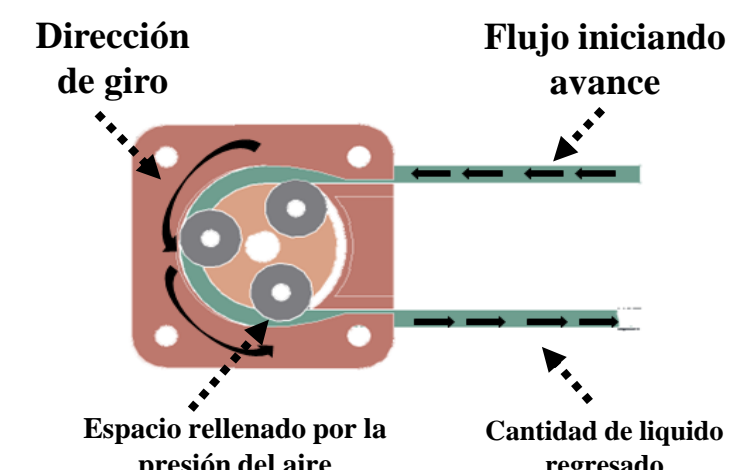
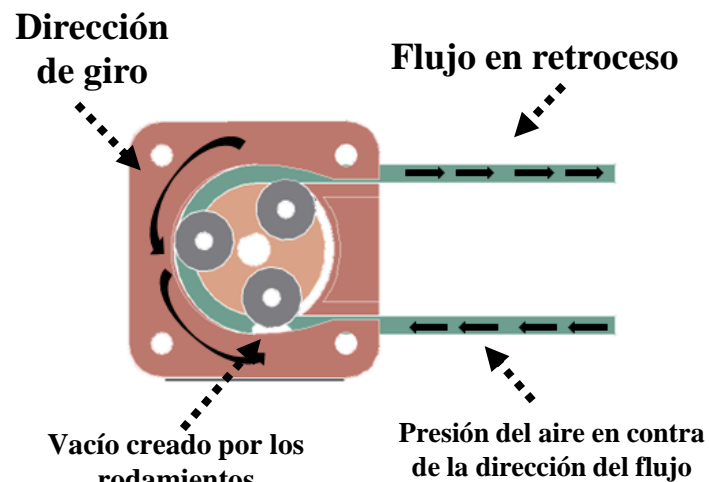
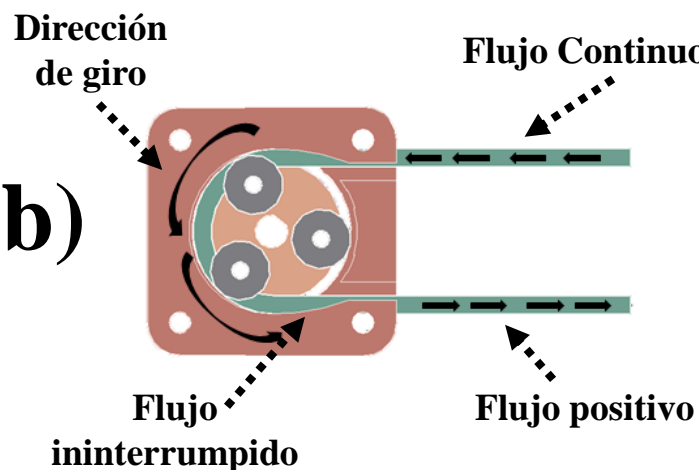
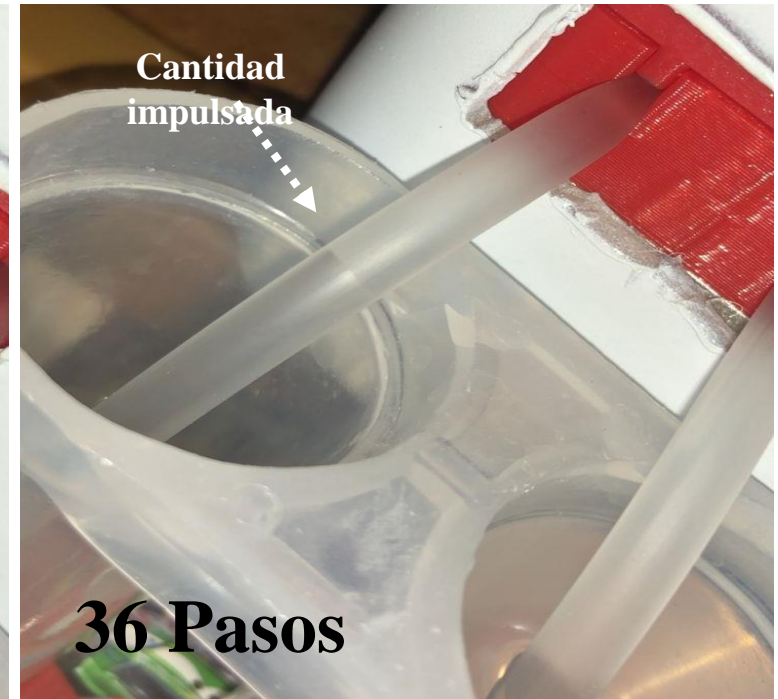
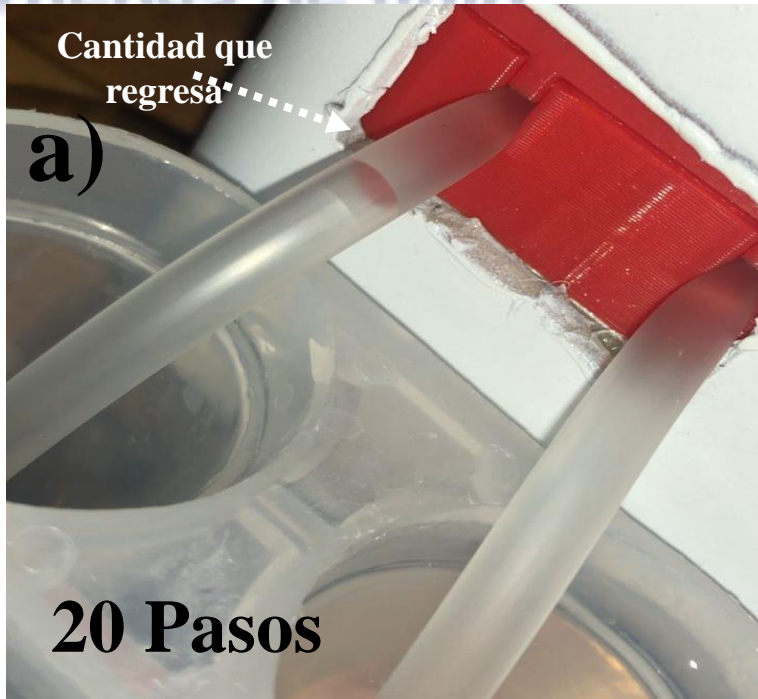
# Interfaz de usuario



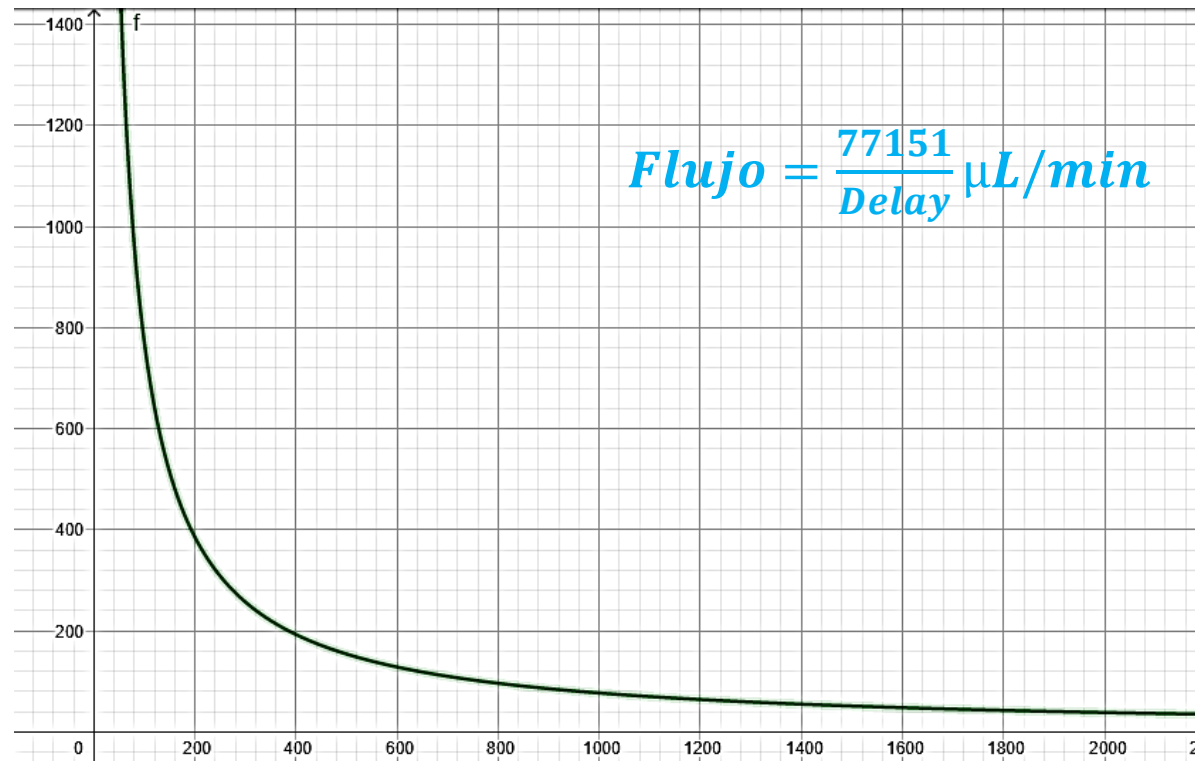
*Montaje de componentes externos en el contenedor*

# Pruebas de flujo

LIGANDO AL LUGO



# Inclusión de Gráficos, Figuras y Tablas-Editables



Grafica del flujo en función del Delay del potenciómetro

# Eficiencia de la bomba



Prototipo final

# Conclusiones

*El diseño realizado fue una alternativa económica y eficiente para la sustitución de bombas de infusión de jeringa, siendo tan solo una sexta parte de una convencional. Su operación completamente autónoma la hace ideal para la operación en largos períodos de trabajo sin necesidad de cambio del contenedor del fluido a impulsar, y presenta una opción para la incorporación en sistemas de generación de energía a base de Urea en un futuro. El código implementado en el microcontrolador permite el cambio de rangos de 2.5 a 200  $\mu\text{L}/\text{min}$ , a ordene mayores de los cientos de microlitros, teniendo un rango mucho mayor de disponibilidad que el que puede ofrecer el potenciómetro. La mayor contribución del trabajo se presenta en la alta precisión del volumen desplazado por paso, que es completamente constante en cada fase de impulsión, lo que fue resultado de múltiples combinaciones de orden de decimas de milímetro entre los espacios de la tubería y las paredes contenedoras de la misma.*

# Referencias

- [1] B.Selma Mohammed; David A Fields; Bettina Mittendorfer; Andrew R Coggan; Samuel Klein (2004). Are peristaltic pumps as reliable as syringe pumps for metabolic research? assessment of accuracy, precision, and metabolic kinetics. , 53(7), 0–878.  
<https://doi.org/10.1016/j.metabol.2004.02.008>
- [2] Anber Saleem a,b , Salman Akhtar c , Fahad M. Alharbi d , S. Nadeem c , Mehdi Ghalambaz e,f,\* , Alibek Issakhov. (2020). Physical aspects of peristaltic flow of hybrid nano fluid inside a curved tube having ciliated wall. Results in Physics. Volume 19  
<https://doi.org/10.1016/j.rinp.2020.103431>
- [3] Esser, Falk; Masselter, Tom; Speck, Thomas (2019). Silent Pumpers: A Comparative Topical Overview of the Peristaltic Pumping Principle in Living Nature, Engineering, and Biomimetics. Advanced Intelligent Systems.  
<doi:10.1002/aisy.201900009>
- [4] Shawn W. Walker; Michael J. Shelley (2010). Shape optimization of peristaltic pumping. 229(4), 1260–1291.  
<doi:10.1016/j.jcp.2009.10.030>
- [5] Behrens, M. R., Fuller, H. C., Swist, E. R., Wu, J., Islam, M. M., Long, Z., ... Steward, R. (2020). Open-source, 3D-printed Peristaltic Pumps for Small Volume Point-of-Care Liquid Handling. *Scientific Reports*, 10(1). <doi:10.1038/s41598-020-58246-6>
- [6] Park, Jungyul; Kim, Il Chaek; Baek, Jeongeun; Cha, Misun; Kim, Jinseok; Park, Sukho; Lee, Junghoon; Kim, Byungkyu (2007). Micro pumping with cardiomyocyte–polymer hybrid. *Lab on a Chip*, 7(10), 1367  
<doi:10.1039/b703900j>
- [6] Nadeem, S.; Shahzadi, Iqra (2015). Mathematical Analysis for Peristaltic Flow of Two Phase Nanofluid in a Curved Channel. *Communications in Theoretical Physics*, 64(5), 547–554.  
<doi:10.1088/0253-6102/64/5/547>
- [7] Nguyen, Nam-Trung; Huang, Xiaoyang; Chuan, Toh Kok (2002). MEMS-Micropumps: A Review. *Journal of Fluids Engineering*, 124(2), 384.  
<https://doi.org/10.1115/1.1459075>
- [8] Judy, J.W.; Tamagawa, T.; Polla, D.L. (1991). [IEEE IEEE Micro Electro Mechanical Systems - Nara, Japan (30 Jan.-2 Feb. 1991)] [1991] Proceedings. *IEEE Micro Electro Mechanical Systems - Surface-machined micromechanical membrane pump*, 182–186.



**ECORFAN®**

© ECORFAN-Mexico, S.C.

No part of this document covered by the Federal Copyright Law may be reproduced, transmitted or used in any form or medium, whether graphic, electronic or mechanical, including but not limited to the following: Citations in articles and comments Bibliographical, compilation of radio or electronic journalistic data. For the effects of articles 13, 162,163 fraction I, 164 fraction I, 168, 169,209 fraction III and other relative of the Federal Law of Copyright. Violations: Be forced to prosecute under Mexican copyright law. The use of general descriptive names, registered names, trademarks, in this publication do not imply, uniformly in the absence of a specific statement, that such names are exempt from the relevant protector in laws and regulations of Mexico and therefore free for General use of the international scientific community. BECORFAN is part of the media of ECORFAN-Mexico, S.C., E: 94-443.F: 008- ([www.ecorfan.org/booklets](http://www.ecorfan.org/booklets))